

Caso clínico: Caso clínico 1      Código: P1IHQSET-B1      Fecha de generación: 2021-01-04 11:31      Laboratorio: 200103 - Hospital Universitario de La Samaritana

-	Patrón de tinción				Intensidad de tinción				% de células positivas				-
	Glutamina sintetasa	CD34	B-Catenina	Amiloide AA	Glutamina sintetasa	CD34	B-Catenina	Amiloide AA	Glutamina sintetasa	CD34	B-Catenina	Amiloide AA	
Resultados	1	2	3	1	4	2	4	4	5	6	7	5	8
HUS-001	1	2	3	9	4	2	4	4	7	6	10	6	11
HUS-002	1	2	3	9	4	2	4	4	7	6	10	6	11
HUS-003	1	3	1	1	12	4	4	12	6	7	10	6	8
HUS-004	1	3	3	1	12	13	12	4	10	7	10	7	8

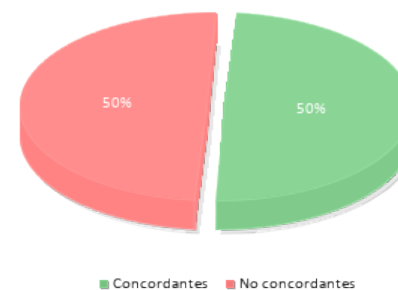
Interpretación Concordante No concordante

**Convenciones para diagnósticos**

[1] Citoplasmático [2] Ausente [3] Membranoso [4] Moderada [5] 76% - 100% [6] Negativo [7] 51% - 75% [8] Adenoma hepatocelular inflamatorio/telangiectásico [9] Otro [10] 1% - 25% [11] Adenoma hepatocelular con Mutación del HNF1A [12] Débil [13] Fuerte

Resultados intralaboratorio - Inmunohistoquímica				
Patrón de tinción	Glutamina sintetasa	CD34	B-Catenina	Amiloide AA
Nuclear	1	1	1	1
Citoplasmático	4	0	1	2
Membranoso	0	2	3	0
Perinuclear/en gota	0	0	0	0
Ausente	0	2	0	0
Otro	0	0	0	2
Intensidad de tinción	Glutamina sintetasa	CD34	B-Catenina	Amiloide AA
Débil	3	1	2	2
Moderada	2	1	3	3
Fuerte	0	1	0	0
Ausente	0	2	0	0
Porcentaje de células positivas	Glutamina sintetasa	CD34	B-Catenina	Amiloide AA
Negativo	2	3	1	4
1% - 25%	1	0	4	0
26% - 50%	0	0	0	0
51% - 75%	2	2	0	1
76% - 100%	0	0	0	0

Porcentaje de concordancia en el diagnóstico



**Caso clínico:** Caso clínico 2    **Código:** P1IHQSET-B2    **Fecha de generación:** 2021-01-04 11:31    **Laboratorio:** 200103 - Hospital Universitario de La Samaritana

-	Patrón de tinción				Intensidad de tinción				% de células positivas				-
	Racemasa	CA-IX	CD10	CK7	Racemasa	CA-IX	CD10	CK7	Racemasa	CA-IX	CD10	CK7	
Resultados	1	2	2	1	3	4	5	4	6	7	8	7	9
HUS-001	1	2	2	2	5	4	4	4	10	7	10	10	9
HUS-002	1	2	2	2	5	4	4	4	6	8	8	8	9
HUS-003	1	2	2	1	5	4	4	4	10	7	10	10	11
HUS-004	1	1	12	1	3	4	12	4	6	7	13	10	9

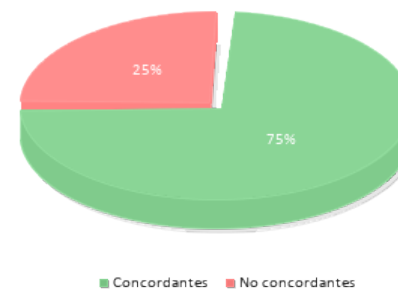
**Interpretación**    Concordante    No concordante

**Convenciones para diagnósticos**

[1] Citoplasmático    [2] Membranoso    [3] Débil    [4] Fuerte    [5] Moderada    [6] 1% - 25%    [7] 76% - 100%    [8] 26% - 50%    [9] Carcinoma renal de células claras papilar    [10] 51% - 75%    [11] Carcinoma renal de células claras con patrón de crecimiento papilar/pseudopapilar    [12] Ausente    [13] Negativo

Resultados intralaboratorio - Inmunohistoquímica				
Patrón de tinción	Racemasa	CA-IX	CD10	CK7
Nuclear	1	1	1	1
Citoplasmático	4	1	0	2
Membranoso	0	3	3	2
Perinuclear/en gota	0	0	0	0
Ausente	0	0	1	0
Otro	0	0	0	0
Intensidad de tinción	Racemasa	CA-IX	CD10	CK7
Débil	2	1	1	1
Moderada	3	0	0	0
Fuerte	0	4	3	4
Ausente	0	0	1	0
Porcentaje de células positivas	Racemasa	CA-IX	CD10	CK7
Negativo	1	0	1	0
1% - 25%	2	1	1	1
26% - 50%	0	1	1	1
51% - 75%	2	0	2	3
76% - 100%	0	3	0	0

Porcentaje de concordancia en el diagnóstico



Caso clínico: Caso clínico 3      Código: P1IHQSET-B3      Fecha de generación: 2021-01-04 11:31      Laboratorio: 200103 - Hospital Universitario de La Samaritana

-	Patrón de tinción				Intensidad de tinción				% de células positivas				-
	CK7	PAX8	Calretinina	Napsina-A	CK7	PAX8	Calretinina	Napsina-A	CK7	PAX8	Calretinina	Napsina-A	
Resultados	1	2	3	1	5	6	3	6	7	7	8	7	9
				4									
HUS-001	10	2	3	4	5	6	3	6	7	7	8	7	9
HUS-002	10	2	3	4	5	6	3	6	7	7	8	7	9
HUS-003	1	2	3	1	5	6	3	5	7	7	8	11	9
HUS-004	1	2	3	1	5	5	3	6	7	7	8	11	9

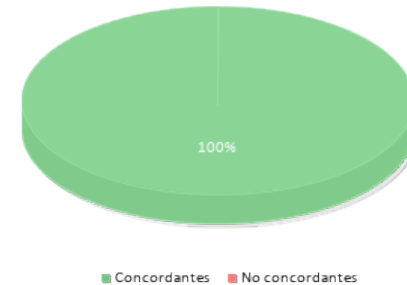
Interpretación Concordante No concordante

**Convenciones para diagnósticos**

[1] Citoplasmático [2] Nuclear [3] Ausente [4] Perinuclear/en gota [5] Fuerte [6] Moderada [7] 76% - 100% [8] Negativo [9] Carcinoma ovárico de células claras metastásico [10] Membranoso [11] 51% - 75%

Resultados intralaboratorio - Inmunohistoquímica				
Patrón de tinción	CK7	PAX8	Calretinina	Napsina-A
Nuclear	0	5	1	1
Citoplasmático	3	0	0	2
Membranoso	2	0	0	0
Perinuclear/en gota	0	0	0	2
Ausente	0	0	4	0
Otro	0	0	0	0
Intensidad de tinción	CK7	PAX8	Calretinina	Napsina-A
Débil	1	1	1	1
Moderada	0	3	0	3
Fuerte	4	1	0	1
Ausente	0	0	4	0
Porcentaje de células positivas	CK7	PAX8	Calretinina	Napsina-A
Negativo	1	1	5	1
1% - 25%	0	0	0	0
26% - 50%	0	0	0	0
51% - 75%	0	0	0	2
76% - 100%	4	4	0	2

Porcentaje de concordancia en el diagnóstico



**Caso clínico:** Caso clínico 4    **Código:** P1IHQSET-B4    **Fecha de generación:** 2021-01-04 11:31    **Laboratorio:** 200103 - Hospital Universitario de La Samaritana

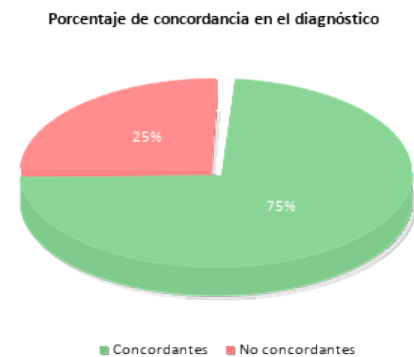
-	Patrón de tinción				Intensidad de tinción				% de células positivas				-
	MLH1	MSH2	MSH6	PMS2	MLH1	MSH2	MSH6	PMS2	MLH1	MSH2	MSH6	PMS2	
<b>Resultados</b>	1	1	1	1	2	3	3	2	4	4	4	4	5
HUS-001	1	1	1	1	3	2	3	2	4	4	6	4	5
HUS-002	1	1	1	1	3	2	3	2	4	4	6	4	5
HUS-003	1	1	1	1	3	3	7	2	6	6	6	4	5
HUS-004	1	1	8	1	2	2	8	2	4	4	9	4	10

**Interpretación**    Concordante    No concordante

**Convenciones para diagnósticos**

[1] Nuclear [2] Fuerte [3] Moderada [4] 76% - 100% [5] No hay pérdida de la expresión nuclear de las proteínas del complejo de reparación de apareamiento de bases (mismatch repair): baja probabilidad de alta inestabilidad de microsateélites. [6] 51% - 75% [7] Débil [8] Ausente [9] Negativo [10] Pérdida de la expresión nuclear solo del MSH6: alta probabilidad de Síndrome de Lynch

Resultados intralaboratorio - Inmunohistoquímica				
Patrón de tinción	MLH1	MSH2	MSH6	PMS2
Nuclear	5	5	4	5
Citoplasmático	0	0	0	0
Membranoso	0	0	0	0
Perinuclear/en gota	0	0	0	0
Ausente	0	0	1	0
Otro	0	0	0	0
Intensidad de tinción	MLH1	MSH2	MSH6	PMS2
Débil	1	1	2	1
Moderada	3	1	2	0
Fuerte	1	3	0	4
Ausente	0	0	1	0
Porcentaje de células positivas	MLH1	MSH2	MSH6	PMS2
Negativo	1	1	2	1
1% - 25%	0	0	0	0
26% - 50%	0	0	0	0
51% - 75%	1	1	3	0
76% - 100%	3	3	0	4



- Final del reporte -  
Página 4 de 4

Aprobado por:  
Aída Porras. MSc. PhD  
Coordinadora Programas QAP PAT